## MODELADO CORTICAL EN LA REGIÓN SUDESTE DE LA CUENCA PANTANAL MEDIANTE INVERSIÓN CONJUNTA DE FUNCIONES DEL RECEPTOR Y CURVAS DE DISPERSIÓN

Melina Lunansky <sup>a,b</sup>, María Laura Rosa <sup>b</sup>, Martin Schimmel <sup>c</sup>

<sup>a</sup> Consejo Nacional de Investigaciones Científicas y Técnicas (CONICET) - ARGENTINA <sup>b</sup> Centro de Investigaciones Geofísicas (CIGEOF-FCAG-UNLP) - ARGENTINA <sup>c</sup> Geociencias Barcelona (GEO3BCN-CSIC) - ESPAÑA

Contacto del autor: mlunansky@fcaglp.unlp.edu.ar

Realizamos la inversión conjunta de curvas de dispersión de ondas superficiales y funciones del receptor, reduciendo las incertidumbres de los modelos sísmicos y optimizando la información que aporta cada conjunto de datos de manera independiente.

Utilizamos las funciones del receptor calculadas en 12 estaciones sismológicas distribuidas a lo largo de un perfil ubicado en el borde oriental de la cuenca Pantanal y las curvas de dispersión de velocidad de grupo y de fase obtenidas a partir de la tomografía realizada con datos de ruido sísmico registrados en 86 estaciones de la región.

En la inversión empleamos el programa joint96 del software Computer Programs in Seismology (Herrmann, 2013). El procedimiento requirió construir un modelo inicial que incluyó capas con espesores y velocidades sísmicas representativas de estudios previos de la región, asignar un peso relativo a las curvas de dispersión y a las funciones del receptor, y definir el número de iteraciones del algoritmo.

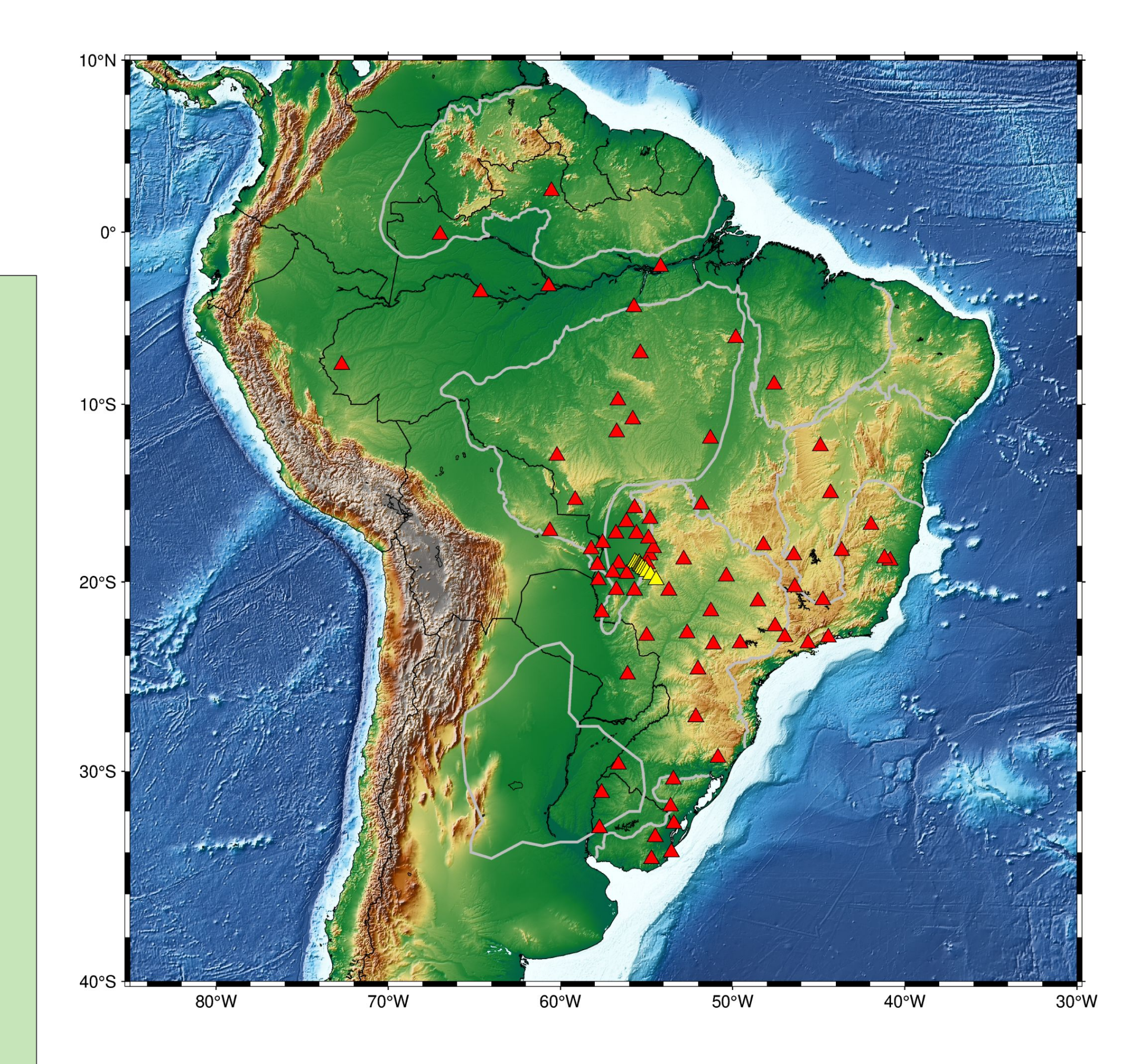


Figura 1: Mapa con la ubicación de las estaciones utilizadas. En rojo las estaciones tenidas en cuenta para la tomografía y en amarillo las estaciones del perfil sobre el que se calcularon las funciones del receptor.

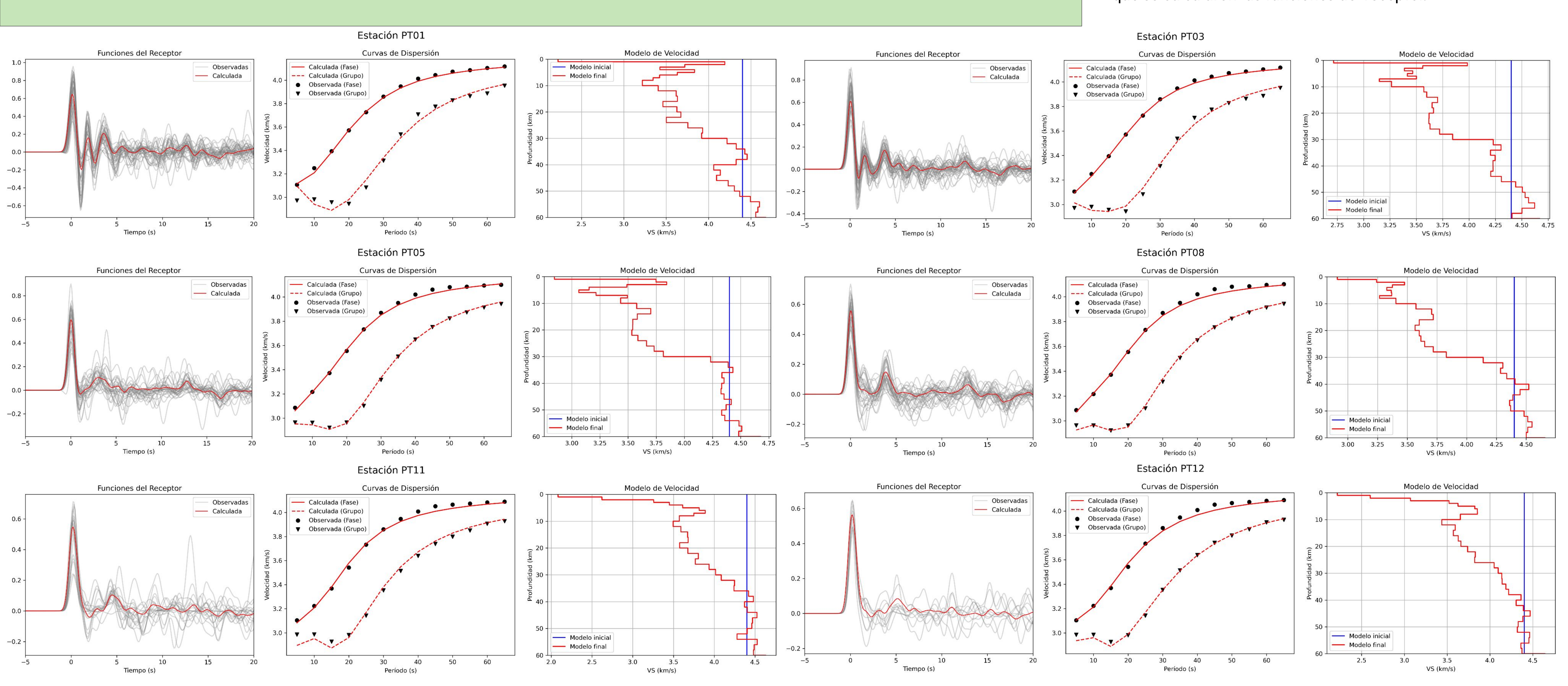


Figura 2: Datos de entrada, ajuste y salida de la inversión en 6 de las 12 estaciones del perfil ubicado en el sudeste de la cuenca Pantanal. Izquierda: en color gris se muestran las funciones del receptor tenidas en cuenta y en color rojo el ajuste logrado en la inversión. Centro: en circulos negros se muestra la curva de dispersión de fase con su ajuste en linea continua roja, y en triangulos negros se muestra la curva de dispersión de grupo con su respectivo ajuste en linea roja punteada. Derecha: modelo de velocidad de onda S resultado de la inversión conjunta en rojo, modelo inicial en azul. Arriba a la izquierda la estación PT01, arriba a la derecha la estación PT03, centro a la izquierda la estación PT05, centro a la derecha la estación PT08, abajo a la izquierda la estación PT11 y abajo a la derecha la estación PT12.

Los resultados de la inversión conjunta evidencian una discontinuidad marcada en torno a los 30 km de profundidad en las estaciones del perfil localizadas dentro de la cuenca Pantanal. Esta señal se interpreta como el límite entre la corteza y el manto superior, como se observa de manera consistente en las estaciones PT01, PT03, PT05 y PT08 (Figura 2). Por otro lado, en las estaciones ubicadas hacia el margen externo de la cuenca, la discontinuidad principal se reconoce a una profundidad ligeramente mayor, cercana a los 35 km, como se aprecia en las estaciones PT11 y PT12 (Figura 2). Esta variación sugiere un adelgazamiento cortical asociado a la presencia de la cuenca, en contraste con una corteza más gruesa en las zonas circundantes.

La información obtenida resulta coherente con antecedentes disponibles para la región, pese a la escasez de estudios previos. En particular, Rivadeneyra-Vera et al., (2019) señalan espesores corticales de 30 a 35 km, en buen acuerdo con nuestras estimaciones.

No obstante, la resolución alcanzada en esta etapa no permite identificar de manera clara discontinuidades más someras, vinculadas a la estructura interna de la cuenca. Este aspecto constituye una limitación del método aplicado, y refuerza la necesidad de complementar el análisis con técnicas adicionales (por ejemplo, estudios de autocorrelación o análisis de ondas superficiales a períodos cortos) que permitan caracterizar mejor las heterogeneidades corticales superficiales.

<sup>-</sup> Herrmann, R. B., 2013. Computer programs in seismology: An evolving tool for instruction and research, Seism. Res. Lettr. 84, 1081-1088, doi:10.1785/0220110096. - Rivadeneyra-Vera, C. et al., 2019. An updated crustal thickness map of Central South America based on receiver function measurements in the Region of the Chaco, Pantanal, and Paraná Basins, Southwestern Brazil. J. Geophys. Res., 124 (8), 8491-8505.









